

اثر اسید آسکوربیک و تجویز توام آن با L-NIL در جلوگیری از کاهش ویتامین E ناشی از LPS در کلیه موش

صحرایی

لیلا پیرمرادی (کارشناس ارشد)*، دکتر مهری کدخدایی (دانشیار)*، دکتر صدیقه شمس (استادیار)**، دکتر اصغر قاسمی (کارشناس)*، دکتر نسرین مکی**

* گروه فیزیولوژی، دانشکده پزشکی، دانشگاه علوم پزشکی تهران

** گروه پانزیولوژی، دانشکده پزشکی، دانشگاه علوم پزشکی تهران

چکیده

مقدمه: امروزه بسیاری از بیماری‌ها را به نوعی با استرس اکسیداتیو مرتبط می‌دانند. رادیکال‌های آزاد اکسیژن و نیتروژن به عنوان عوامل ایجاد استرس اکسیداتیو مطرح می‌باشند. لیپوپلی‌ساکارید با دومکانیسم تولید مقادیر فراوان نیتریک اکساید(NO) به دنبال القای (NO) به دنبال القای (inducible Nitric oxide synthase) iNOS (inducible Nitric oxide synthase) و ایجاد رادیکال‌های آزاد اکسیژن (OFR) موجب شوک سپتیک می‌شود. این سندروم معمولاً با نارسایی ارگان‌های حیاتی از جمله کلیه همراه است. ویتامین E مهمترین آنتی‌اکسیدان محلول در چربی است که نقش مهمی در حفاظت غشاء‌های بیولوژیک در برابر استرس اکسیداتیو دارد. ویتامین C نیز مهمترین آنتی‌اکسیدان محلول در آب و رفته‌گر رادیکال‌های آزاد بوده که به علت خاصیت رُثُنَاسِیَّون و احیای مجدد ویتامین E اکسید شده در حفاظت سلول‌ها حائز اهمیت است. در این مطالعه میزان تغییرات ویتامین E پلاسما و کلیه موش صحرایی بدنی تزریق لیپوپلی‌ساکارید و نیز اثر مهار تولید نیتریک اکساید توسط L-[N(6)-(1-iminoethyl)lysine] L-NIL ویتامین C و اثر توأم این دو بر این تغییر سنجهیده شد.

مواد و روشها: بدین منظور موش‌های صحرایی نر از نژاد Sprague-Dawley را به ۵ گروه تقسیم کردیم: دریافت نرمال سالین (کنترل)، دریافت LPS (Lipopolysaccharide)، دریافت L-NIL، دریافت LPS همراه با L-NIL پس از گاواز ویتامین C و دریافت L-NIL پس از گاواز ویتامین C. متغیرهای مورد مطالعه شامل BUN، Creatinine، LDH و روشها: نتایج حاصله نشان داد که LPS سبب کاهش غلظت ویتامین E پلاسما و کلیه ($p < 0.001$) شده و غلظت LDH را ($p < 0.001$) افزایش می‌دهد. L-NIL و ویتامین C و ترکیب توام آنها موجب بازگشت پارامترهای فوق به حد نرمال شدند. تجویز توأم ویتامین C و L-NIL موجب افزایش قابل توجه ویتامین E کلیه و پلاسما نسبت به گروه کنترل شد ($p < 0.001$).

نتیجه گیری و توصیه ها: این نتایج مovid این مطلب است که مهار تولید نیتریک اکساید و برداشت رادیکال‌های آزاد می‌تواند از کاهش ویتامین E پلاسما و کلیه در شوک سپتیک جلوگیری نموده و عملکرد کلیه را بهبود بخشد.

مقدمه

C، ویتامین E، بتاکاروتون اغلب به عنوان ویتامین‌های آنتی‌اکسیدان نامیده می‌شوند که آسیب اکسیداتیو در انسان را محدود می‌کنند (۱۰). یکی از آنتی‌اکسیدان‌های مهم محلول در چربی در بدن ویتامین E می‌باشد که نقش مهمی در حفاظت غشاء‌های بیولوژیک در برابر استرس اکسیداتیو دارد (۱۱). ویتامین C نیز یک آنتی‌اکسیدان محلول در آب است که موجب حفظ سلول و اجزاء سلولی در مقابل رادیکال‌های آزاد و آسیب اکسیدان‌ها می‌شود (۱۲). ویتامین C روی ویتامین E اثر سینergicی داشته و موجب رژئنراسیون توکوفرول اکسیده می‌شود (۱۲). همچنین ویتامین C در خارج سلول‌ها همراه با ویتامین E موجود در غشاء‌های سلولی عمل کرده و با تخریب رادیکال‌های آزاد از پراکسیداسیون چربی‌ها جلوگیری می‌کند (۱۲). از طرف دیگر پیشنهاد شده است که مهارکننده‌های اختصاصی iNOS از اثرات سلولی مضر نیتریک اکساید در طول شوک سپتیک جلوگیری می‌کنند (۱۳).

L-NIL یا L-N(6)-(1-iminoethyl)lysine یکی از مهارکننده‌های اختصاصی iNOS است که موجب کاهش غلظت نیتریک اکسید تولید شده از طریق این آنزیم می‌شود (۱۳). همچنین از کاهش GFR و کاهش غلظت cNOS (۱۴، ۱۵) جلوگیری کرده و بدین ترتیب موجب کاهش سمیت کلیوی ناشی از LPS می‌شود (۲). با توجه به اینکه متعاقب سپتیک می‌نماییم (۲)، در مهار OFR و نقش L-NIL در مهار تولید نیتریک اکساید در این تحقیق بر آن شدیدم تا با تزریق LPS در موش صحرایی ایجاد شوک سپتیک نموده سپس با مصرف ویتامین C و L-NIL و L-NIL یا از القای iNOS در ایجاد نارسایی کلیوی در این مدل پی ببریم.

شوک سپتیک یک عارضه تهدید کننده حیات به صورت عفونت سیستمیک سراسری در بدن است که به دنبال گشادی پاتوفیزیولوژیک عروق، اختلالات همانولوژیکی و عملکردی و نارسایی ارگان‌ها، میانجی‌های التهابی توسط سیستم ایمنی آزاد می‌شود. شوک سپتیک سالانه ۳۰۰ تا ۵۰۰ هزار بیمار را در ایلات متحده مبتلا می‌کند که علیرغم مراقبت‌های ویژه پیشرفت، آنتی‌بیوتیک‌های جدید و تحقیق‌های وسیع در پاتوفیزیولوژی این سندرم، مرگ و میر آن حدود ۲۰ تا ۵۵٪ است. و اگر این عارضه با نارسایی چندین ارگان همراه باشد مرگ و میر تا ۷۰٪ افزایش می‌یابد. علامت کلیدی شوک سپتیک افت شدید فشار خون است که اغلب با نارسایی چند ارگان مهم بدن از قبیل ریه، کلیه، کبد و مغز همراه است (۱). یکی از علل عمده ایجاد شوک سپتیک لیپوپلی‌ساکارید (LPS)، بخش گلیکولپیدی غشای خارجی باکتری‌های گرم منفی است (۲، ۳، ۴) که موجب تولید سایتوکاین‌ها و واژودیلاتورهایی از قبیل نیتریک اکساید می‌شود. تولید مقادیر زیاد نیتریک اکساید بدنبال القای iNOS وابسته به سایتوکاین اتفاق می‌افتد که در پیشرفت شوک سپتیک نقش دارد (۵، ۶، ۷، ۸). عارضه جدی ایجاد شده در شوک سپتیک نارسایی حاد کلیه می‌باشد که در مرگ و میر بالای اندوتوكسمی بطور قابل توجهی نقش دارد (۸). زیرا iNOS از طریق افزایش فعالیت LPS (Nitric oxide synthase) موجب تولید نیتریک اکساید در کلیه شده (۲) و همچنین موجب افزایش ROS (۹) و تشکیل رادیکال‌های آزاد اکسیژن نظیر سوبراکساید و رادیکال‌های هیدروکسیل در کلیه می‌شود (۲). بدین ترتیب LPS با ایجاد محیط استرس اکسیداتیو موجب آسیب کلیوی می‌گردد (۲). در مقابله با استرس اکسیداتیو موادی بنام آنتی‌اکسیدانها وجود دارند که نقش مهمی در دفاع از سیستم‌های بدن بازی می‌کنند. ویتامین

مواد و روش‌ها

نمونه خون از ورید کلیوی جهت تهیه پلاسما و با سرنگ دیگر یک نمونه خون از ورید اجوف تحتانی جهت تهیه سرم گرفته شد. پس از جداسازی کلیه راست از ناف، آن را داخل محلول PBS شستشو داده، کپسول آن را جدا نموده، در فویل الومینیم پیچیدیم و سپس در فریزر $^{\circ}72$ به صورت منجمد نگهداری کردیم. نمونه خون جهت تهیه سرم به مدت ربع ساعت در محیط آزمایشگاه نگهداشته شد تا لخته گردد و سپس با دور ۳۰۰۰ و به مدت ۱۰ دقیقه سانتریفیوژ شده و سرم از آن جدا شد. نمونه خون جهت پلاسما در سانتریفیوژ بیخجال دار سانتریفیوژ شد.

استخراج و سنجش ویتامین E در پلاسما و کلیه

استخراج ویتامین E از پلاسما

برای استخراج ویتامین E پلاسما از روش Arnaud (۲۰) استفاده شد. که پس از انجام مراحل مختلف استخراج نمونه آماده سنجش ویتامین E توسط دستگاه HPLC است. برای استخراج استاندارد خارجی نیز مراحل فوق انجام می‌شود. فقط بجای ۲۰۰ میکرولیتر پلاسما از ۲۰۰ میکرولیتر استاندارد خارجی با غلظت‌های معین $1/25$, $1/50$, $1/100$ و $1/200$ میکرومول در لیتر استفاده می‌کنیم.

استخراج ویتامین E از کلیه

برای استخراج ویتامین E در کلیه از روش peng (۲۱, ۲۲) استفاده شد. که پس از انجام مراحل مختلف استخراج نمونه آماده سنجش ویتامین E توسط دستگاه HPLC است.

طرز تهیه استاندارد خارجی

وزن مولکولی آلفا - توکوفرول $430/72$ گرم است. به میزان $10/7/68$ میلی گرم از آلفا توکوفرول را در 50cc اتانول حل کردیم که محلول ۵ میلی مولار بدست آمد. سپس با رقیق کردن، محلول‌های $1/25$ الی $1/10$ بدست آوریم.

۴۰ عدد موش صحرایی نر از نژاد Sprague-Dawley در محدوده وزنی $200-250$ گرم جمعیت مورد مطالعه این تحقیق بود. نمونه‌گیری از نوع تصادفی ساده بوده که نمونه‌ها به ۵ گروه تقسیم شدند و تعداد نمونه در هر گروه ۸ عدد بود. سنجش غلظت اوره، کراتی نین، لاکات دهیدروژنانز با دستگاه اتوآسالیزر هیتاچی و به روش اسپکتروفوتومتری انجام شد. سنجش غلظت ویتامین E پلاسما و کلیه با دستگاه HPLC با ردیاب UV صورت گرفت. پس از تهیه موش‌های صحرایی، آنها را به مدت دو هفته در شرایط غذایی و محیطی یکسان قرار دادیم تا سازگاری یابند. سپس آنها به پنج گروه هشت تایی تقسیم کردیم.

۱- گروه کنترل که جهت ایجاد استرس تزریق، نرمال سالین را به صورت IV دریافت کردند.

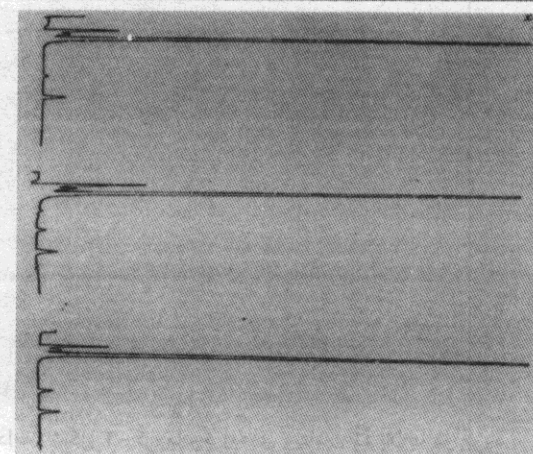
۲- گروه LPS که LPS با دوز 3 mg/kg به صورت IV ($16, 18, 19, 17, 2, 6, 13, 3$) تزریق گردید.

۳- گروه L-NIL + LPS که L-NIL + LPS را با همان دوز 3 mg/kg دوم دریافت کرده و L-NIL را با دوز 2 mg/kg به صورت IP ۲ دقیقه بعد و سه ساعت پس از تزریق LPS دریافت کردند.

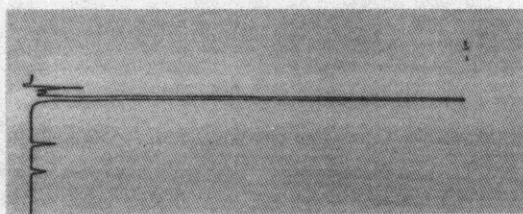
۴- گروه Vitamin C + LPS که رت‌ها مقدار 700 میلی گرم ویتامین C را به مدت ۵ روز متوالی به صورت گاواز دریافت کرده و در روز ششم تحت تزریق LPS مانند گروه دوم قرار گرفتند.

۵- گروه L-NIL + Vitamin C + LPS که روش و دوز هر کدام مطابق گروه‌های ۲، ۳ و ۴ به صورت ترکیب انجام شد.

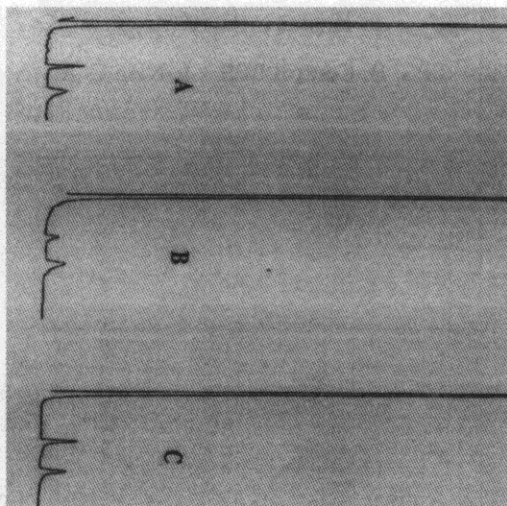
طول دوره آزمایش برای تمامی گروه‌ها ۸ ساعت بود. در پایان دوره آزمایش حیوان با تزریق 50 mg/kg کاتامین به صورت IP بیهوش گردید. سپس با ایجاد برشی در شکم حیوان، روده‌ها را کنار زده و کلیه‌ها را نمایان ساختیم. آنگاه با یک سرنگ آغشته به EDTA بک



شکل ۱- کروماتوگرام های استاندارد ویتامین E در غلظت های ۰،۱/۲۵، ۰،۲/۵ میکرو مول در لیتر



(ادامه) شکل ۱- کروماتوگرام استاندارد ویتامین E در غلظت های ۰،۱۰ میکرو مول در لیتر



شکل ۲- کروماتوگرام های ویتامین E پلاسما در گروه A: LPS; B: Control LPS + L-NIL; C

طرز تهیه استاندارد داخلی

وزن مولکولی α - توکوفرول استات به عنوان استاندارد داخلی $472/76$ گرم بود که $118/17$ میلی گرم از آنرا در 50cc اتانول خالص حل کردیم تا محلول 5 میلی مولار بdst آمد.

HPLC نحوه اندازه گیری ویتامین E با دستگاه

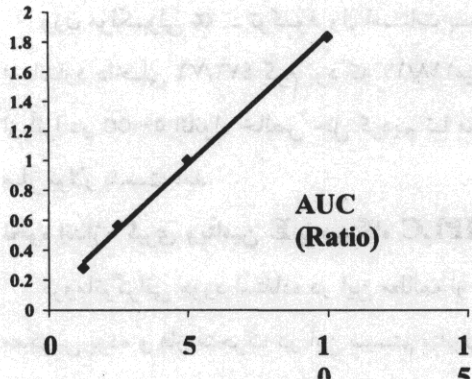
کروماتوگرافی مورد استفاده در این مطالعه از نوع فاز معکوس بوده و فاز متحرک در این سیستم مثانول خالص بود. ابتدا فاز متحرک را فیلتر نموده و در مخزن حلال دستگاه HPLC می ریزیم. سپس با استفاده از گاز هلیم آنرا عاری از گاز می نماییم. آنگاه بتدریج جریان فاز متحرک را افزایش داده تا فشار در سیستم افزایش یابد. سپس در طول موج دتکتور UV 192 نانومتر نمونهها به دستگاه تزریق شد.

روش تجزیه و تحلیل داده ها

جهت مقایسه میانگین بین گروهها از آنالیز واریانس یکطرفه استفاده شد و برای تعیین گروهی که تفاوت معنی داری با گروههای دیگر داشت از پس آزمون LSD استفاده گردید.

یافته ها

شکل ۱ کروماتوگرام های استاندارد های خارجی ویتامین E، شکل ۲ کروماتوگرام های ویتامین E پلاسما و شکل ۳ کروماتوگرام های ویتامین E کلیه را در گروه های مختلف نشان می دهد. استانداردهای خارجی در ۴ غلظت معین تهیه می شدند که عبارت است از غلظت $0،۱/۲۵$ ، $۰،۲/۵$ ، $۰،۱۰$ میکرومولار از ویتامین E که منحنی خطی غلظت به دست آمده آن در نمودار شماره ۱ نشان داده شده است که از روی این منحنی غلظت ویتامین E در نمونه های مورد آزمایش محاسبه گردیدند.



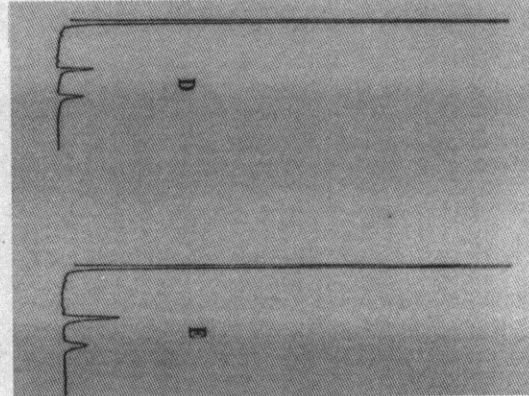
نمودار ۱- منحنی استاندارد ویتامین E

تغییرات غلظت ویتامین E پلاسما

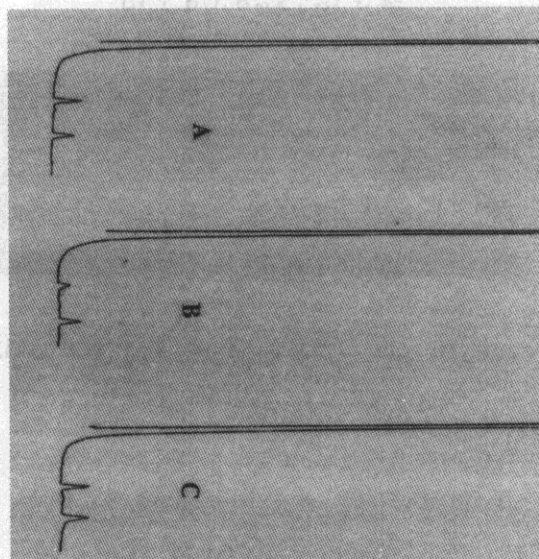
نمودار ۲ میانگین و خطای معیار غلظت ویتامین E L-NIL + LPS در پلاسما را در گروههای کنترل، L-NIL + LPS + Vitamin C و Vitamin C + LPS با میانگین 12.11 ± 0.23 در گروه کنترل، 8.21 ± 0.19 در گروه L-NIL + LPS و 11.50 ± 0.18 در گروه Vitamin C + LPS نشان می‌دهد. میانگین غلظت ویتامین E در پلاسما بر حسب میکرومول در لیتر در گروه کنترل 12.11 ± 0.23 ، در گروه LPS 8.21 ± 0.19 در گروه L-NIL + LPS و 11.50 ± 0.18 در گروه Vitamin C + LPS ویتامین C در گروه Vitamin C + LPS 11.50 ± 0.23 و در گروه Vitamin C + LPS 15.40 ± 0.23 می‌باشد. در این نمودار غلظت ویتامین E گروه LPS با $p < 0.001$ نسبت به گروه کنترل تفاوت معنی‌داری را نشان می‌دهد. مقدار ویتامین Vitamin C + LPS و گروه L-NIL + LPS و گروه Vitamin C + LPS تفاوت معنی‌داری با گروه کنترل نداشت. مقدار ویتامین Vitamin C + LPS با سایر گروه‌ها تفاوت معنی‌داری را نشان داد ($p < 0.001$).

تغییرات غلظت ویتامین E بافت کلیه

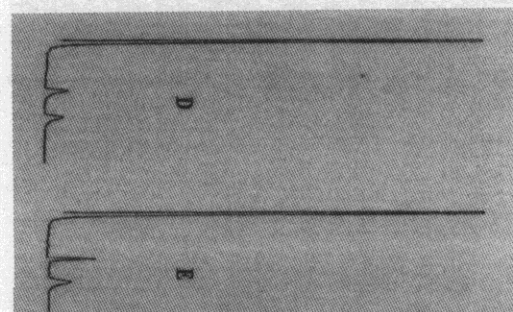
نمودار شماره ۳ مقایسه میانگین و خطای معیار غلظت ویتامین E در بافت کلیه را در گروههای کنترل، LPS + vitamin C، LPS + L-NIL، LPS + vitamin C + L-NIL و LPS + vitamin C + L-NIL + vitamin C نشان می‌دهد. میانگین



(ادامه) شکل ۲- کروماتوگرام‌های ویتامین E پلاسما در گروه LPS + L-NIL + Vitamin C: E, LPS + Vitamin C : D



(ادامه) شکل ۳- کروماتوگرام‌های ویتامین E کلیه در گروه LPS: B, Control LPS + L-NIL: C : A

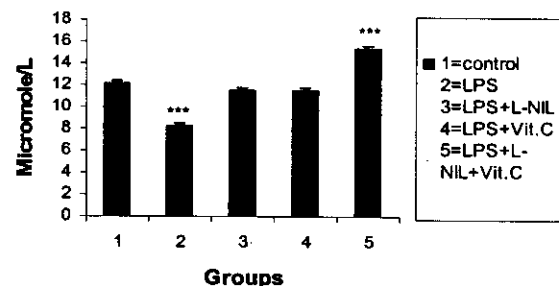


(ادامه) شکل ۳- کروماتوگرام‌های ویتامین E کلیه در گروه LPS + L-NIL + Vitamin C: E, LPS + Vitamin C : D Concentration (μm/L)

۲۰ میلی گرم در دسی لیتر، در گروه LPS $37/40 \pm 2/42$ LPS در گروه $L-NIL + LPS$ در گروه $24/25 \pm 1/03$ L-NIL + LPS و در گروه $+Vitam.C$ + ویتامین C $\pm 1/15$ C و در گروه $LPS + L-NIL + C$ $22/95 \pm 0/73$ میلی گرم در دسی لیتر است. در این نمودار گروه LPS با گروه کنترل تفاوت معنی داری را با $p < 0.001$ نشان می دهد. گروه های $LPS + L-NIL + LPS$ و $LPS + L-NIL + Vitam.C$ با گروه کنترل تفاوت معنی داری را نشان نمی دهند.

نمودار شماره ۵ مقایسه میانگین و خطای معیار LDH را در گروه های کنترل، $LPS + L-NIL + LPS$ و $LPS + L-NIL + Vitam.C$ با گروه کنترل میانگین غلظت LDH سرمه دهد. در گروه کنترل میانگین غلظت LDH $577 \pm 60/13$ LPS U/L، در گروه $LPS + L-NIL + LPS$ $125 \pm 12/35$ در گروه $LPS + L-NIL + Vitam.C$ $295 \pm 53/54$ در گروه $LPS + L-NIL + LPS$ $291 \pm 31/74$ و در گروه $LPS + Vitam.C$ $17/74 \pm 267/33$ در این نمودار مقدار LDH گروه LPS با گروه کنترل تفاوت معنی داری را نشان می دهد. در گروه های $LPS + L-NIL + LPS$ و $LPS + L-NIL + Vitam.C$ مقدار LDH با گروه کنترل تفاوت معنی داری نداشت.

Plasma vitamin E

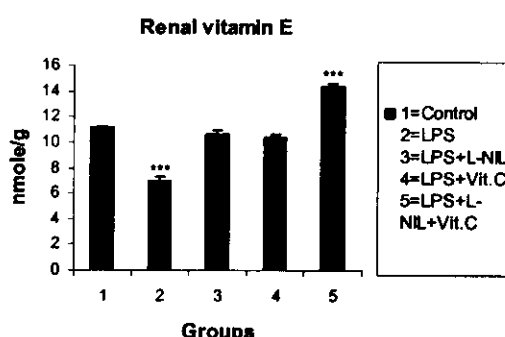


نمودار ۲ - مقایسه میانگین و خطای معیار غلظت ویتامین E

LPS+L-NIL LPS،
LPS+L-NIL+Vitamin C LPS+Vitamin C
بر حسب میکرومول در لیتر

غلظت ویتامین E در کلیه بر حسب نانومول به ازاء گرم بافت در گروه کنترل، $11/11 \pm 0/09$ در گروه $LPS + L-NIL + LPS$ $10/61 \pm 0/15$ در گروه $LPS + Vitamin C$ $10/43 \pm 0/24$ در گروه $LPS + Vitam.C + L-NIL + LPS$ $14/40 \pm 0/17$ می باشد. در این نمودار گروه $LPS + L-NIL + LPS$ با $(P < 0.001)$ کاهشی در مقدار ویتامین E نسبت به گروه کنترل نشان می دهد و گروه ترکیب توأم ویتامین C و $L-NIL$ نسبت به گروه کنترل افزایش معنی داری در مقدار ویتامین E را نشان می دهد ($p < 0.001$). گروه های $LPS + L-NIL + LPS$ و $LPS + Vitam.C + L-NIL + LPS$ نسبت به گروه کنترل تفاوت معنی داری را نشان نمی دهند.

تغییرات غلظت BUN، کراتینین و لاکتات دهیدروژناز سرمه

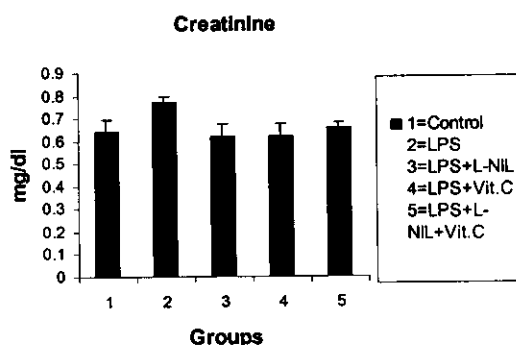


نمودار ۳ - مقایسه میانگین و خطای معیار غلظت ویتامین E کلیه در گروه های کنترل، $LPS + L-NIL + LPS$ و $LPS + L-NIL + Vitamin C$ LPS+Vitamin C بر حسب نانو مول در گرم بافت

نمودار ۴ میانگین و خطای معیار BUN سرمه را در گروه های کنترل، $LPS + L-NIL + LPS$ و $LPS + L-NIL + Vitam.C$ را نشان می دهد. میانگین غلظت BUN در گروه کنترل $165 \pm 0/69$

۰/۱۵ می باشد که تفاوت معنی داری بین گروه ها مشاهده

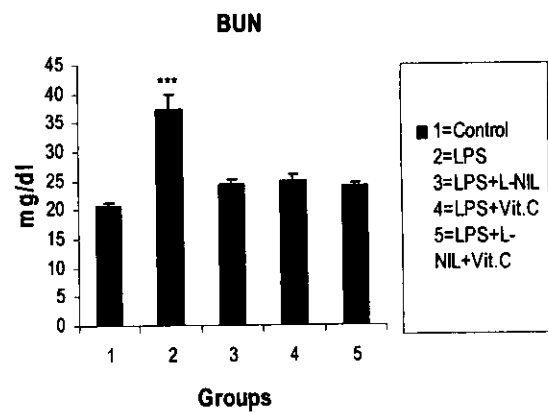
نمی شود



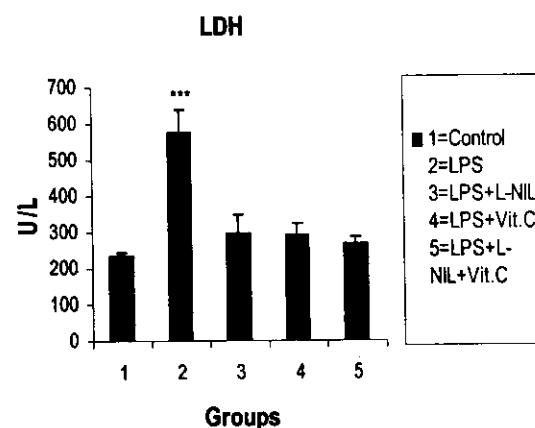
نمودار ۶- مقایسه میانگین و خطای معیار کراتینین سرم در گروه های کنترل، LPS+Vitamin C، LPS+L-NIL، LPS و LPS+L-NIL+Vitamin C بر حسب میلی گرم در دسی لیتر

بحث

سپتی سمی که با مرگ و میر بالا همراه است معمولاً با نارسایی ریوی، کبدی و کلیوی همراه می شود. گرچه هیپوتانسیون و کاهش جریان خون کلیوی در نارسایی کلیه نقش دارد. اما در مدل های حیوانی مشاهده شده که LPS حتی در غیاب افت قابل توجه فشار خون سیستمیک می تواند آسیب کلیوی ایجاد کند. جزء آسیب رساننده LPS که موجب نارسایی کلیه می شود لیپید A نامیده می شود که تولید نیتریک اکساید را سبب شده و موجب آسیب اکسیدان به توبول های پروگزیمال می شود. نیتریک اکساید عامل پاتولوژیک مهم در آسیب کلیوی می باشد. استفاده از مهار کننده های غیر اختصاصی نیتریک اکسید موجب بدتر شدن شوک سپتیک می شود چون موجب انقباض عروق قلب، کاهش بروون ده قلبی و افزایش فشار ریوی و ترومبوز کلیوی می شود. بدین ترتیب مهار eNOS در عوارض فوق نقش دارد در حالیکه مهار اختصاصی iNOS می تواند مفید واقع شود به نظر می رسد LPS به رسپتور غشایی خود متصل می شود و پروتئین کیناز فعال کننده میتوژن (MAPK) را



نمودار ۴- مقایسه میانگین و خطای معیار BUN سرم در گروه های کنترل، LPS+L-NIL، LPS و LPS+L-NIL+Vitamin C بر حسب میلی گرم در دسی لیتر



نمودار ۵- مقایسه میانگین و خطای معیار LDH سرم در گروه های کنترل، LPS+Vitamin C، LPS+L-NIL و LPS+L-NIL+Vitamin C بر حسب واحد در لیتر . نمودار ۶ میانگین و خطای معیار کراتینین سرم را در گروه های کنترل، LPS+L-NIL + LPS و LPS+L-NIL + LPS + vitamin C نشان می دهد. میانگین و خطای معیار کراتینین در گروه کنترل 0.63 ± 0.05 میلی گرم در دسی لیتر، در گروه LPS+L-NIL+LPS 0.77 ± 0.05 در گروه LPS + vitaminC 0.62 ± 0.05 و در گروه LPS+ vitamin C + L-NIL 0.25 ± 0.02

۴

اختلال عملکرد کلیه و صدمات ناشی از ایسکمی ری-پرفیوژن در مطالعه خود مشاهده نمودند.

L-NIL با حذف NO تولید پراکسی نیتریت را مهار می‌کند. پراکسی نیتریت در انواع آسیب سلولی که توسط رادیکال‌های آزاد اکسیژن میانجی گری می‌شود شرکت دارد. متعاقب تزریق LPS *iNOS* اتفاق افتاده و مقادیر فراوانی NO تولید می‌شود. انواع سلولی مسؤول تولید NO و سوپراکسید در کلیه در پاسخ به LPS هنوز شناخته نشده است. Zhang و همکاران در سال ۲۰۰۰ (۲) بیان می‌کنند که cNOS و iNOS سلول‌های پروگریمال هر دو قادر به تولید سوپراکسید و NO هستند و این اعتقاد برخلاف نظر سایرین می‌باشد که معتقدند پس از *iNOS* و ترشح فراوان NO در واقع با مهار cNOS صدمات بافتی اتفاق می‌افتد. چنانچه Schwartz و همکاران در سال ۱۹۹۷ (۲۵) بیان می‌کنند که مقادیر کمی از NO برای مهار cNOS در مقایسه با iNOS مورد نیاز است. Narita و همکاران در سال ۱۹۹۵ (۲۸) بیان می‌کنند که پراکسی نیتریت بجز صدمات سلولی خودبخودی می‌تواند با تولید مقادیر فراوان رادیکال OH[•] که واکنشی و توکسیک می‌باشد باعث آسیب سلولی شود که آستان در تحقیق خود گلومرولونفریت را ناشی از رادیکال‌های فوق می‌دانند.

LPS سبب تولید رادیکال‌های آزاد و نارسانی کلیه LPS می‌شود (۱۶، ۲). کاهش ویتامین E کلیه توسط مزید این مطلب است. LPS یک محیط اکسیدان ایجاد کرده و سیستم آنتی‌اکسیدانی برای مقابله با این تهاجم برانگیخته می‌شود در مورد ویتامین E پلاسمای نیز این قضیه صادق است.

ویتامین C خود یک Scavenger قوی رادیکال‌های آزاد می‌باشد که آئیون سوپراکسید، هیدروکسیل، پراکسی نیتریت، پراکسیل آبی، اکسیژن تک، ازن، نیتروژن دی‌اکسید، رادیکال‌نیتروواکسید و اسید هیپوکلروس را رفته‌گری می‌نماید. در واقع ویتامین C مهمترین آنتی‌اکسیدان مایعات خارج سلولی است که با خاصیت برداشت رادیکال‌های آزاد پراکسیداسیون چربی را

فعال می‌کند. این امر سبب فعل شدن NF-KB می‌گردد که در حالت طبیعی به شکل غیرفعال در سیتوپلاسم وجود دارد. باعث انتقال NF-KB به هسته شده و سبب القای iNOS می‌گردد (۲۳). افزایش توسط LPS که ناشی از کاتابولیسم پروتئین‌ها و به عنوان یک شاخص اندوتوكسیک (۲) و اندکس عملکرد کلیوی است، در تمام بیماریهای کلیه بالاتر از حد طبیعی می‌باشد از آن جمله می‌توان گلومرولونفریت، پیلونفریت، نکروز حاد توبولی و انسداد مجرای ادراری را نام برد (۱۹). مقالاتی که سطوح نیتریت، نیترات، MDA و یا دیگر شاخص‌های استرس‌اکسیداتیو را سنجیده‌اند آسیب کلیوی پس از تزریق LPS را گزارش کرده‌اند. بنظر می‌رسد تولید رادیکال سوپراکسید در پاسخ به LPS موجب صدمه به کلیه، ریه و کبد می‌شود زیرا رادیکال سوپراکسید می‌تواند با نیتریک اکساید ترکیب شده، تحت واکنش اضافه شدن دو رادیکال، آئیون قوی پراکسی نیتریت را تشکیل دهد (۲). L-NIL که یکی از مهارکننده‌های اختصاصی iNOS است بخوبی می‌تواند کاتابولیسم پروتئین و استرس‌اکسیداتیو در کلیه را کاهش داده (۲) و عملکرد کلیه را بهبود بخشد (۲۴). چنانچه این وضعیت را در این مطالعه در گروه L-NIL+LPS و در گروه ترکیب توان L-NIL و ویتامین C مشاهده کردیم در واقع کاهش BUN اثر مفید L-NIL بر عملکرد کلیه را نشان می‌دهد. اثرات مفید L-NIL در کاهش BUN توسط Zhang و همکاران در سال ۱۹۹۷ (۲)، Schwartz و همکاران در سال ۲۰۰۰ (۲۵) گزارش شده است که همگی از عدم تشکیل پراکسی نیتریت بدنبال مهار iNOS و مهار ترشح نیتریک اکسید گزارش می‌کنند. در مطالعات مشابه دیگر از قبیل Gabbai و همکاران در سال ۲۰۰۱ (۱۴) و Schwartz و همکاران در سال ۲۰۰۲ (۲۶) اثرات مفید L-NIL را در جلوگیری از کاهش GFR پس از تزریق LPS در گزارش نموده‌اند. همچنین Chatterjee و همکاران در سال ۲۰۰۲ (۲۷) اثرات مفید L-NIL را در کاهش

شده است پلاسما و کبد از مخازن متغیر و بافت چربی از مخازن ثابت ویتامین E به شمار می‌آیند. در موقع لزوم که استرس اکسیداتیو مهمترین آن است ویتامین E از بافت‌های متغیر مهاجرت کرده و نیاز بافت‌هایی چون کلیه و ریه را برای مقابله با استرس اکسیداتیو بطرف می‌کند (۲۱).

LPS نتوانست تفاوت معنی‌داری در مقدار کراتینین ایجاد کند. این نتیجه درمورد کراتینین در مطالعه Zhang و همکاران در سال ۲۰۰۰ (۲) و Raina و همکاران در سال ۲۰۰۰ (۳) نیز بدست آمد و آنها نیز تفاوت معنی‌داری در مقدار Cr سرم مشاهده نکردند با توجه به مدت آزمایش در مطالعه Zhang و همکاران که ۶ ساعت بود و مطالعه ما که ۸ ساعت بوده است بنظر می‌رسد مدت زمان بیشتری برای افزایش Creatinine لازم است.

همانطور که در فصل نتایج مشاهده شد LPS نتوانست سطح LDH سرم را به میزان قابل ملاحظه‌ای افزایش دهد. LDH سرم از آنزیم‌هایی است در بافت‌های مختلف از قبیل قلب، کبد، کلیه‌ها، عضله اسکلتی، مغز و ریه‌ها موجود است و ایزوآنزیم LDH-4 اختصاصاً در کلیه‌ها موجود است (۳۲). حضور این آنزیم در سیتوسول بوده و فعالیت آن در کلیه بیش از پانصد برابر میزان فعالیت نرمال آنزیم در سرم است بنابراین صدمه به کلیه موجب افزایش این آنزیم در مایعات فیزیوبوژیک بدن می‌شود. یکی از موارد افزایش LDH سرم بیماری‌های کلیوی بخصوص نکروز توبولار و پیلوفریت می‌باشد (۳۳). افزایش LDH در این مطالعه مشابه نتایجه‌های است که Raina و همکاران در سال ۲۰۰۰ (۳) بدست آورده‌اند.

مهرمی‌کند. همین خاصیت می‌تواند موجب کاهش LDH، BUN در مطالعه ما شده باشد. همانطور که در فصل نتایج مشاهده شد LPS با کاهش ویتامین E کلیه و پلاسما در واقع موجب استرس کسیداتیو و آسیب کلیوی شده است. میزان ویتامین E کلیه و پلاسما در گروه vitamin C + LPS و L-NIL+LPS تفاوت معنی‌داری با گروه کنترل نداشت و این می‌تواند ناشی از اثرات با ارزش آنتی اکسیدانی ویتامین C و مهار NO توسط L-NIL می‌باشد. همچنین ویتامین C بر ویتامین E اثر سینرژیستی دارد و در واقع موجب رژئراسیون و احیای ویتامین E می‌شود. recycling آلفا توکوفرول توسط آسکوربیت غشاء‌های چربی را در برابر پراکسیداسیون محافظت می‌کند (۳۰، ۲۹).

پ در گروه LPS + ویتامین C L-NIL+C همانطور که در فصل نتایج مشاهده شد ویتامین E پلاسما و کلیه افزایش یافته بود. این نتیجه می‌تواند مربوط به اثر سینرژیستی و recycling ویتامین C بر ویتامین E و مهار دومسیر تولید رادیکال‌های آزاد اکسیژن و نیتریک اکسید باشد. نتیجه مشابهی در مطالعه Siman و Eriksson در سال ۱۹۹۷ (۳۱) بدست آمد که آنها نیز در تحقیق خود مشاهده کردند که تجویز ویتامین C افزایش غلظت ویتامین E بافت جفت و کاهش TBAR را در سرم موش‌های دیابتی باردار سبب می‌شود. و باز نتیجه مشابهی در مطالعه Mehmet Cay و همکاران در سال ۲۰۰۱ (۲۹) بدست آمد که سطح ویتامین E کبد و پلاسما پس از تجویز ویتامین C در موش‌های دیابتی (یک وضعیت استرس اکسیداتیو) حتی نسبت به گروه کنترل نیز افزایش نشان داد و آنها این اثر را ناشی از همان اثر recycling و احیای ویتامین E در حضور ویتامین C می‌دانند. برای ویتامین E دو مخزن ثابت و متغیر توصیف

منابع

1. Ignarro LJ, Nitric oxide Biology and pathobiology. California. Academic Press. 2000. 780.
2. Zhang C, Walker LM, Mayeux PR. Role of nitric oxide in lipopolysaccharide induced oxidant stress in the rat kidney. Biochemistry Pharmacology. 2000. 59: 203-209.
3. Raina N, Matsui J, Jeejeebhoy KN. Nutritional and metabolic effects of the endotoxin bacterial LPS in orally and parent rally fed rats. American Journal of Clinical Nutrition. 2000. 71(3): 835-843.
4. Dwairi QEL, Comtois A, Guo Y, et al. Endotoxin induced skeletal muscle contractile dysfunction: contribution of nitric oxide syntheses. American Journal of Physiology. 1998. 770-779.
5. Porst M, Hartner A, Krause H, et al. Inducible nitric oxide syntheses and glomerular hemodynamics in rats with liver cirrhosis. American Journal of Physiology. Renal Physiology. 2001. 181(2): 193-9.
6. Lortie MJ, Ishizuka SH, Schwartz D, et al. Bioactive products of arginine in sepsis: tissue and plasma composition after LPS and iNOS blockade. American Journal of Physiology. Cell Physiology. 2000. 178(6): 1191-1199.
7. Titheradge MA. Nitric oxide in septic shock. Biochemistry Biophysic Acta. 1999. 5, 1411(2-3): 437-55.
8. Wang W, Falk SA, Jittikanont S, et al. Protective effect of renal denervation on normotensive endotoxemia- induced acute renal failure in mice. American Journal of Physiol. renal physiology. 2002. 183(3): 583-7.
9. Suntres ZE, Shek PN. Treatment of LPS induced tissue injury: role of liposomal antioxidants. Shock. 1996. 6 Suppl 1: 557-564.
10. McCay MR, Frei B. Can antioxidant vitamins materially reduce oxidative damage in humans? Free Radicals Biology Med. 1999. 26 (7,8): 1034-1053.
11. Vatassery GT, Smith WE, and Quach HT. Alpha tocopherol in rat brain subcellular fractions is oxidized rapidly during incubations with low concentrations of peroxynitrite. Journal of Nutrition. 1998. 118:152-157.
12. Rumsey SC, Wang Y, Levine M. Vitamin C in: antioxidant status diet nutrition and health. Papas. AM. CRC press. Massachusetts. 1999. 159-248
13. Preiser JC, Zhang H, Vray B, et al. Time course of inducible nitric oxide synthase activity following endotoxin administration in dogs. Nitric oxide: Biology and chemistry. 2001. Vol 5. No 2. 208- 211.
14. Schwartz D, Brasowski E, Raskin Y, et al. The outcome of non-selective vs selective nitric oxide synthase inhibition in LPS treated rats. Journal of Nephrology. 2001. 14 (2):110-114.
15. Schwartz D, Blantz RC. Nitric oxide, sepsis, and the kidney. Semin Nephrol. 1999. 19(3): 172-6.
16. Crespo E, Macias M, Pozo D, et al. Melatonin inhibits expression of inducible NO synthase II in liver and lung and prevents endotoxemia in lipopolysaccharide-induced multiple organ dysfunction syndrome in rats. Faseb J. 1999. 13(12):1537-1546.
17. Stefan F, Kai Z, Gillian M.W, et al. Identification of copper/zinc superoxide dismutase as a novel nitric oxide- regulated gene in rat glomerular mesangial cells and kidneys of endotoxemic rats. 1999. 13: 869-882.
18. Rhyu DY, Yokozawa T, Choa EJ, et al. Prevention of peroxynitrite-induced renal injury through modulation of peroxynitrite production by the Chinese prescription Wen-Pi-Tang. Free Radic Res. 2002. 36(12): 1261-9.

19. Yokozawa T, Rhyu DY, Chen CP. Protective effects of Acanthopanax Radix extract against endotoxemia induced by lipopolysaccharide. *Phytother Res.* 2003; 17(4):353-7.
20. Arnaud J, Furtis I, Blacher S, et al. Simultaneous determination of retinol, alpha tocopherol & beta carotene in serum by isocratic high performance liquid chromatography. *Journal of Chromatography*. 1991; 572: 103-116.
21. Basu TK, Dickerson JW. Vitamins in human health and disease. cab international. 1996; 214 - 167.
22. Peng Y, Peng YM. Simultaneous liquid chromatographic determination of carotenoids, retinoids and tocopherols in human buccal mucosal cells. *Cancer Epidemiologic Biomarker and prevention*. 1992; 2: 375-382.
۲۳. قاسمی ا. تعیین میزان تغیرات ویتامین E در بلاسم و کلیه موش صحرایی در آسیب کلیوی ناشی از لیپوپلی ساکارید. پایان نامه جهت اخذ درجه کارشناسی ارشد فیزیولوژی، دانشگاه علوم پزشکی تهران. ۱۳۸۰؛ ۷۷.
24. Noiri E, Nakao A, Uchida K, et al. Oxidative and nitrosative stress in acute renal ischemia. *AM J Physiol*. 2001; 181(5): F 948-57.
25. Schwartz D, Mendonca M, Schwartz I, et al. Inhibition of constitutive nitric oxide synthase (NOS) by nitric oxide generated by inducible NOS after LPS administration provokes renal dysfunction in rats. *The Journal of clinical investigation*. 1997; Vol 100, No 2. 439-448.
26. Gabbai FB, Hammond TC, Thomson SC, et al. Effect of acute iNOS inhibition on glomerular function in tubulointerstitial nephritis. *Kidney Int*. 2002; 61(3): 851-4.
27. Chatterjee PK, Patel NS, Kvale EO, et al. Inhibition of inducible nitric oxide synthase reduces renal ischemia/reperfusion injury. *Kidney Int*. 2002; 61(3): 862-71.
28. Narita I, Border WA, Ketteler M, et al. Nitric oxide mediates immunologic injury to kidney mesangium in experimental glomerulonephritis. 1995; 72, No 1. 17.
29. Mehmet C, Mustafa N, Halil S, et al. Effects of intraperitoneally administered vitamin C on antioxidative defense mechanism in rats with diabetes induced by streptozocin. *Research Experimental Medicine*. 2001; 200: 205- 213.
30. Rinne T, Mutschler E, Wimmer-Greinecker G, et al. Vitamin C and E protect isolated cardio myocytes against oxidative damage. *Int J Cardiology*. 2000; 15, 75 (2-3): 175-181.
31. Siman CM, Eriksson UJ. Vitamin C supplementation of the maternal diet reduces the rate of malformation in the offspring of diabetic rats. *Diabetologia*. 1997; 40: 1416-1424.
۳۲. بلورچی فرد ف. و همکاران. مطالعات آزمایشگاهی و روش‌های تشخیصی. تهران: نور دانش، ۱۶؛ ۱۳۷۸.
۳۳. امیررسولی ه. بیوشیمی بالینی. جعفری، تهران. ۷۱؛ ۱۳۷۰.